

## بررسی برخی خواص فیزیکی لیموترش جهرمی

محمد‌هادی موحدنژاد<sup>۱</sup>، محمد‌هادی خوش‌تقاضا<sup>۲\*</sup>

۱- دانشجوی دکتری گروه مکانیک ماشین‌های کشاورزی، دانشکده کشاورزی، دانشگاه تربیت مدرس

۲- دانشیار گروه مکانیک ماشین‌های کشاورزی، دانشکده کشاورزی، دانشگاه تربیت مدرس

(تاریخ دریافت: ۸۸/۷/۲۳ تاریخ پذیرش: ۹۰/۵/۲۳)

### چکیده

در این تحقیق برخی خواص فیزیکی لیموترش جهرمی مورد مطالعه قرار گرفت. خواص فیزیکی شامل جرم، قطرهای اصلی، حجم، چگالی، ضربیت کرویت، قطر هندسی و میزان مقاومت بود. برای تعیین میزان مقاومت لیموترش، آزمون فشار با دستگاه ماشین آزمون مواد با استفاده از دو فک تخت انجام گرفت. آزمایشها در سه سطح جرمی ( $m < 23\text{ g}$ ,  $m = 23\text{ g}$ ,  $m > 23\text{ g}$ ) و افقی (در جهت قطر متوسط) انجام شدند. پارامترهای بدست آمده شامل نیرو و انرژی دقیقه) و در دو جهت بارگذاری عمودی (درجت قطر بزرگ) و افقی (درجت قطر بزرگ) انجام شدند. پارامترهای بدست آمده شامل نیرو و انرژی شکست، چغمرمگی و مدول الاستیسیته بودند. نتایج خواص فیزیکی نشان داد که میانگین جرم، حجم، چگالی، ضربیت کرویت و قطر هندسی لیموترش‌ها به ترتیب  $g = 21,24\text{ cm}^3$ ,  $21,48\text{ g/cm}^3$ ,  $1,012\text{ g}$  و  $34,07\text{ cm}$  بودند. همچنین نتایج حاکی از معنادار شدن اثرات اصلی جهت بارگذاری، سرعت بارگذاری و اندازه در شاخص مدول الاستیسیته ( $p < 0.01$ ) و اثر متقابل سرعت بارگذاری و اندازه در انرژی شکست ( $p < 0.01$ ) بود. اما هیچ یک از شاخص‌ها در نیروی شکست معنادار نشد. علاوه بر آن نتایج نشان داد که سرعت بارگذاری رابطه عکس با انرژی شکست و رابطه مستقیم با چغمرمگی و مدول الاستیسیته داشته است. در مقابل، اندازه، تاثیر زیادی روی انرژی شکست و چغمرمگی نداشته ولی مدول الاستیسیته رابطه معکوسی با اندازه از خود نشان داد.

**کلید واژگان:** خواص فیزیکی؛ دستگاه آزمون مواد؛ چغمرمگی؛ مدول الاستیسیته

### -۱- مقدمه

اصلی تولید آن در جنوب جیرفت، کهنوج، میناب، بلوچستان و جهرم قرار دارد<sup>[۲]</sup>. لیموترش با سطح زیر کشت ۵۵,۰۰۰ هکتار، ۲۲/۶ درصد سطح زیر کشت مرکبات ایران و ۶/۸ درصد سطح زیر کشت لیموترش جهان را شامل می‌شود. این محصول با تولید سالانه ۱,۱۰۰,۰۰۰ تن و با عملکردی برابر ۲۰,۰۰۰ کیلوگرم در هکتار ۲۸/۷ درصد تولید داخلی مرکبات و ۸/۷ درصد تولید لیموترش جهان را به خود اختصاص داده است<sup>[۳]</sup>.

به منظور بهینه‌سازی ماشین برداشت تکاننده<sup>۱</sup> گریپ فروت، خواص فیزیکی گریپ فروت مورد بررسی قرار گرفت. در

لام (Citrus aurantifolia L.) از گونه‌های اولیه مرکبات است و دارای دو نوع میوه‌ی اسیدی و غیر اسیدی می‌باشد. از ارقام غیر اسیدی می‌توان به لیموشیرین اشاره Tahiti: کرد. ارقام اسیدی نیز شامل میوه‌های بزرگ (مانند: Lime, Persian Lime, Bearss Lime) و کوچک (مانند: Mexican Lime, Key lime) است. ارقام کوچک معروف به West Indian بوده و دارای برگهای کوچک و گرد و میوه‌های کوچک می‌باشد<sup>[۱]</sup>. در ایران رقم Mexican Lime به نام‌های آب شیراز، لیمو شیشه، لیمو عمانی، لیمو شیرازی و لیمو جهرمی نامیده می‌شود. مراکز

\*مسئول مکاتبات: khoshtag@modares.ac.ir

دستگاهها و افزایش تلفات و ضایعات در فراوری می‌شود. هدف از این تحقیق بررسی خواص فیزیکی شامل مشخصه‌های ابعادی، جرم و حجم و همچنین خواص مکانیکی شامل نیروی فشرده‌گی لیموترش جهرمی به منظور استفاده آنها در فرایند آبگیری بوده است.

## ۲- مواد و روش‌ها

### ۱-۱- تهیه نمونه

لیموترش مورد استفاده در این تحقیق از نوع لایم مکریکی بوده که در شهرستان جهرم تولید و در هفته اول شهریور ماه ۸۴ برداشت شدند. میزان رسیدگی آن بر حسب بریکس به طور میانگین ۸ درصد و رطوبت اولیه لیموترش‌ها بر پایه تر به طور میانگین حدود ۸۵٪ بود. محصول تا زمان آزمایش (هفته دوم شهریور) در دمای  $10^{\circ}\text{C}$  و رطوبت نسبی حدود ۸۰٪ در سرد خانه نگهداری گردید.

### ۱-۲- خواص فیزیکی

خواص فیزیکی اندازه‌گیری شده شامل جرم، سه قطر اصلی (قطر بزرگ، متوسط و کوچک)، حجم، چگالی، ضریب کرویت و قطر هندسی بود. ضریب کرویت و قطر هندسی طبق رابطه‌های زیر بدست آورده شد<sup>[۱۰]</sup>. قطرهای اصلی با استفاده از کولیس دیجیتالی با دقت  $0.02\text{ mm}$  اندازه‌گیری شدند.

$$d_e = (a \times b \times c)^{1/3} \quad (1)$$

$$\psi = d_e / a \quad (2)$$

در این روابط،  $d_e$  قطر هندسی (mm)،  $a$ ،  $b$  و  $c$  به ترتیب قطر بزرگ، قطر متوسط، قطر کوچک (mm) و  $\psi$  ضریب کرویت می‌باشند.

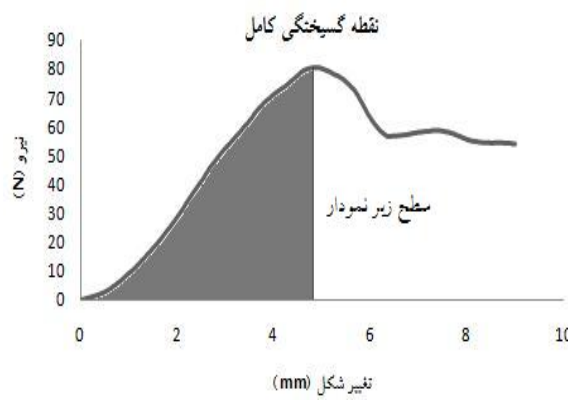
با توجه به ارتباط بیشتر میزان آب لیموترش با جرم آن (که همان اندازه می‌باشد)، در این مطالعه کلیه خواص فیزیکی در سه اندازه بزرگ، متوسط و کوچک که به ترتیب در سه دسته جرمی  $23\text{ g} < m < 22\text{ g}$ ،  $18\text{ g} < m < 18\text{ g}$  و  $9\text{ g} < m < 8\text{ g}$  ایجاد گردید، اندازه گیری شد. در هر دسته جرمی تعداد ۹۰ نمونه انتخاب گردید. جرم با استفاده از ترازوی دیجیتالی با دقت اندازه‌گیری ۰.۰۱ گرم اندازه گیری شد. با استفاده از خاصیت ارشمیدس،

ارتباط با خواص فیزیکی، قطرهای بزرگ، کوچک و متوسط و جرم نمونه‌ها اندازه گیری شد. بر اساس نتایج این تحقیق میزان نیروی عمودی  $N_{44/73}$  برای جدا کردن میوه بدست آمد<sup>[۴]</sup>. همچنین در تحقیقی فیدلیبوس و همکاران خواص مکانیکی پوست و میوه پرتفال را تحت تاثیر هورمون اسید جیبریلیک مورد بررسی قرار دادند. در این تحقیق آزمون فشار و برشی میوه مورد مطالعه قرار گرفت. نتیجه نشان داد که این تیمار اثر قابل توجهی روی خواص فیزیکی میوه کامل نداشت. میزان مدول الاستیسیته برای پرتفال حدود  $586\text{ kPa}$  بدست آمد<sup>[۵]</sup>. میلر نیز خواص فیزیکی مرکبات که مرتبط با عملیات پس از برداشت بوده را بررسی نمود. در این پژوهش شاخص تنش<sup>۱</sup>، ضریب الاستیسیته<sup>۲</sup> و نیروی گسیختگی<sup>۳</sup> در میوه کامل مورد بررسی قرار گرفت و میزان مدول الاستیسیته بدست آمده  $2\text{ تا }3$  برابر مقدار بدست آمده در تحقیق فیدلیبوس و همکاران<sup>[۵]</sup> بود<sup>[۶]</sup>. در تحقیقی ضریب پواسون مرکبات برابر با  $0.33$ ، بدست آمد<sup>[۷]</sup>. همچنین در تحقیق دیگری خواص فیزیکی و پوست و میوه پرتفال در مرحله پس از برداشت مورد مطالعه قرار گرفت<sup>[۸]</sup>. در این پژوهش خواصی چون مقاومت کششی و انرژی برشی پوست، نقطه تسلیم، سختی و انرژی برش پرتفال اندازه گیری شد. میزان نیروی تسلیم در بارگذاری افقی و عمودی به ترتیب از  $124/8\text{ N}$  و  $153/3\text{ N}$  بود. در تحقیقی دیگر خواص فیزیکی و غذایی چهار واریته پرتفال مورد مطالعه قرار گرفت. در این پژوهش خواصی چون قطرهای اصلی، قطر هندسی، ضریب کرویت، جرم، چگالی توده و حقیقی و حجم اندازه گیری شد. نتایج حاکی از معنادار بودن تفاوت در خواص فیزیکی و غذایی بر اساس واریته<sup>[۹]</sup>.

به منظور طراحی و ساخت دستگاههای فراوری، بسته بندی و درجه بندی لیموترش، اطلاع از خواص فیزیکی و مکانیکی این محصول مورد نیاز می‌باشد. برای مثال، خواص مکانیکی در محاسبه انرژی مورد نیاز برای آبگیری لیموترش، مورد استفاده قرار می‌گیرد. در دستگاههای بسته بندی و درجه بندی مشخصه‌های ابعادی محصول باید مورد توجه قرار گیرد. عدم توجه به این خواص موجب صرف هزینه‌های زیاد در ساخت

- 
1. Stress
  2. Elasticity Module
  3. Rupture Force

قبل از انجام آزمون فشار، خواص فیزیکی مانند حجم (با استفاده از روش ارشمیدس)، جرم و قطرهای تمام نمونه‌ها اندازه‌گیری شدند. به کمک دستگاه آزمون مواد نمودار نیرو-جابجایی در طی فشردنگی لیموترش تا مرحله گسیختگی کامل رسم و اطلاعات مربوط به نیرو، جابجایی و انرژی لهیگی حاصل گردید (شکل ۲).



شکل ۲ منحنی فشرده‌گی نیرو- جابجایی لیموترش

برای محاسبه انرژی از سطح زیر نمودار استفاده شد. محاسبه‌ی چغرمگی<sup>۲</sup> از نسبت انرژی لهیگی بر حجم نمونه‌ها بدست آمد. همچنین برای محاسبه مدول الاستیسیته از رابطه زیر استفاده شد [۵].

$$E = \frac{0.531 \times (1 - \mu^2) \times F}{D^{3/2}} \times \left( \frac{1}{R_i} + \frac{1}{R'_i} \right)^{1/2} \quad (۳)$$

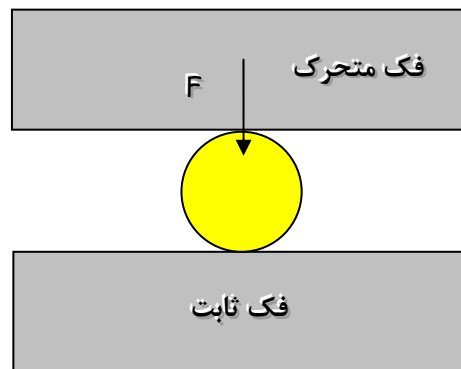
در این رابطه،  $R$  و  $R'$  شعاع انحنای بیشینه و کمینه در نقطه تماس با صفحه بارگذاری (mm) (که با استفاده از دستگاه انحنا سنج بدست آمد)،  $H$  قطر عمودی،  $L$  قطر افقی (mm)،  $D$  نیرو (N) و جابجایی (mm) در محدوده الاستیک ( $\mu = 0.33$ ) و  $E$  (میزان جابجایی ۸ mm)،  $\mu$  ضریب پواسون ( $\mu = 0.33$ ) و مدول الاستیسیته (Pa) است.

برای انجام آنالیز آماری از آزمایش فاکتوریل بر پایه طرح کامل تصادفی استفاده گردید. تجزیه و تحلیل داده‌ها به کمک نرم افزارهای SPSS نسخه ۹ انجام شد.

حجم نمونه‌ها با تغییر میزان حجم آب جایجا شده، اندازه‌گیری شد [۱۰] با داشتن حجم و جرم هر نمونه چگالی ظاهری آن محاسبه گردید.

### ۳-۲- آزمون فشار

برای تعیین خواص فیزیکی، آزمون فشار<sup>۱</sup> با دستگاه آزمون مواد (H50 K-S Hunsfield) ساخت انگلستان) با استفاده از دو فک تخت تا مرحله لهیگی نمونه‌ها انجام گرفت (شکل ۱).



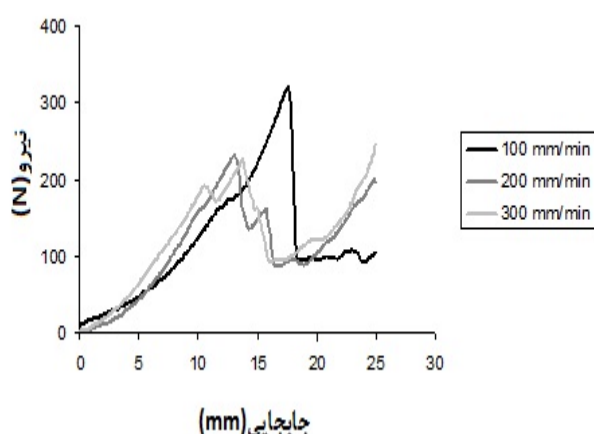
شکل ۱ دو فک مربوط به آزمون فشار آزمون فشار در سه سطح جرمی ( $m < 23 g$ ,  $m = 23 g$ ,  $m > 23 g$ ) و سه سرعت بارگذاری ( $1000$ ,  $200$ ,  $100$  g/milی‌متر بر دقیقه) و در دو جهت بارگذاری عمودی (درجہت قطر بزرگ) و افقی (درجہت قطر متوسط)، در سه تکرار روی نمونه کامل انجام شدند. در هر تکرار یک نمونه‌ی لیموترش مورد استفاده قرار گرفت. با توجه به پایین بودن ضریب تغییرات سه تکرار از دقت کافی برخوردار بود. با توجه به نقش جرم در راندمان آبی لیموترش در این آزمایش نیز سطوح جرمی مد نظر قرار گرفت. همچنین برای بررسی رفتار لیموترش در محدوده شبیه استاتیکی و شبیه سازی فرایند آبگیری (مانند روش FMC) سطوح سرعت بارگذاری انتخاب شدند. به دلیل شکل بیضوی لیموترش، قطرهای کوچک و متوسط تقریباً یکسان بوده در نتیجه بارگذاری در دو جهت قطر بزرگ و قطر متوسط صورت گرفت تا مشخص شود در چه حالاتی انرژی و نیروی بیشتری مصرف می‌شود.

2. Toughness

1. Compression

### ۳-۳- انرژی لهیدگی

اثر ساده سرعت بارگذاری در اندازه: با توجه به روند تغییرات و جدول مقایسه میانگین مشاهده شد که با افزایش سرعت بارگذاری انرژی لهیدگی کاهش یافت (جدول ۳). با توجه به وابستگی انرژی لهیدگی به نیرو و جابجایی نقطه لهیدگی و به علت کاهش میزان جابجایی نقطه لهیدگی در سرعت‌های بالا (شکل ۳) و همچنین به خاطر نبود تفاوت قابل توجه بین نیروهای لهیدگی در سرعت‌های مختلف بارگذاری (معنadar نبودن سرعت بارگذاری بر اساس نتایج تجزیه واریانس) این روند توجیه می‌شود.



شکل ۳ منحنی نیرو\_تغییر شکل در اندازه بزرگ و جهت بارگذاری عمودی

اثر اندازه لیموترش بر انرژی لهیدگی در سطوح سرعت بارگذاری: با توجه به نتایج مقایسه میانگین مشاهده شد که اندازه تاثیر چندانی بر انرژی لهیدگی نداشته است (جدول ۳). در دو سرعت  $100\text{ mm/min}$  و  $200\text{ mm/min}$  اندازه لیموترش تاثیری بر انرژی لهیدگی نداشت. ولی در سرعت  $300\text{ mm/min}$  روند تغییر کرده و میزان انرژی لهیدگی در اندازه بزرگ نسبت به دو اندازه دیگر کاهش یافته است. به دلیل کاهش تغییر شکل نقطه لهیدگی در سرعت  $300\text{ mm/min}$  میزان انرژی لهیدگی کاهش پیدا می‌کند. همچنین مقدار انرژی شکست به طور میانگین بین  $1/2$  تا  $1/7$  ژول تغییر می‌کند.

### ۳- نتایج و بحث

#### ۱- خواص فیزیکی

جدول ۱ میانگین و انحراف معیار خواص فیزیکی نمونه‌های لیموترش در سه سطح جرمی را نشان می‌دهد. همچنین رابطه‌ی بین تمام قطرهای سه‌گانه (قطرهای بزرگ و متوسط و کوچک) لیموترش با جرم و حجم به صورت زیر می‌باشد:

$$m = 0,60a - 0,26b + 0,29R^2 = 0,97 \quad (4)$$

$$v = 0,58a - 0,27b + 0,30R^2 = 0,97 \quad (5)$$

در این روابط،  $a$ ,  $b$  و  $c$  به ترتیب قطرهای بزرگ و متوسط و کوچک ( $\text{mm}$ ), جرم ( $\text{g}$ ) و حجم ( $\text{cm}^3$ ) می‌باشند. بر اساس نتایج تجزیه واریانس فقط تاثیر جرم بر پارامتر قطر هندسی معنadar نبود. با توجه به جدول ۱ قطرهای اصلی، جرم، حجم، قطر هندسی و ضریب کرویت رابطه‌ی مستقیم و چگالی رابطه‌ی معکوسی با اندازه جرمی داشت. یعنی با افزایش جرم، چگالی مقدار کمی کاهش یافته است. این امر به دلیل رسیدگی میوه و افزایش آب موجود در لیموترش می‌باشد.

#### ۲- آزمون فشار

نتایج تجزیه واریانس نشان داد که اثرات اصلی فاکتورها بر مدل الاستیسیته در سطح  $99\%$  معنadar شده در مقابل هیچ یک از اثرات متقابل برای مدل الاستیسیته معنadar نگردید. اثر متقابل سرعت بارگذاری و اندازه فقط در انرژی لهیدگی در سطح  $99\%$  و چغمگی در سطح  $95\%$  معنadar شده و اثر متقابل سه گانه سرعت بارگذاری و اندازه و جهت بارگذاری برای هیچ یک از خواص معنadar نشد (جدول ۲). همچنین هیچکدام از فاکتورها برای نیروی لهیدگی معنadar نبود. بر این اساس هر زمان اثر متقابل معنadar شود، اثرات اصلی فاقد اعتبار لازم می‌شود. در نتیجه می‌باشد اثرات متقابل را مورد بررسی قرار داد. همچنین در جایی که اثر متقابل سه گانه معنadar شود، اثرات دوگانه نیز مورد بررسی قرار نخواهد گرفت [۱۲، ۱۱].

## جدول ۱ نتایج خواص فیزیکی لیموترش در سه سطح جرمی

سطوح جرمی (g)				خواص فیزیکی
$m < 18$ (کوچک)	$18 \leq m < 23$ (متوسط)	$m > 23$ (بزرگ)		
۲۳,۸۵±۲,۶ <sup>c</sup>	۳۷,۷۷±۲,۴۴ <sup>b</sup>	۴۲,۲۷±۲,۹۹ <sup>a</sup>		قطر بزرگ (mm)
۲۹,۲۷±۲,۰۳ <sup>c</sup>	۳۲,۲۲±۰,۸۹ <sup>b</sup>	۳۵,۶±۱,۸۸ <sup>a</sup>		قطر متوسط (mm)
۲۹,۱۹±۱,۴۸ <sup>c</sup>	۳۱,۹۸±۱,۲۶ <sup>b</sup>	۳۵,۵۸±۱,۹۶ <sup>a</sup>		قطر کوچک (mm)
۰,۸۹±۰,۰۴ <sup>a</sup>	۰,۹۰±۰,۰۴ <sup>a</sup>	۰,۹۱±۰,۰۴ <sup>a</sup>		ضریب کرویت
۳۰,۶۸±۱,۷ <sup>c</sup>	۳۳,۸۷±۱,۰۷ <sup>b</sup>	۳۷,۶۷±۱,۸۶ <sup>a</sup>		قطر هندسی (mm)
۱۵,۳۲±۲,۱۹ <sup>c</sup>	۲۰,۹۸±۱,۹۶ <sup>b</sup>	۲۸,۱۴±۲,۹۸ <sup>a</sup>		جرم (g)
۱۵,۰۷±۲,۱۷ <sup>c</sup>	۲۰,۷۳±۱,۹۶ <sup>b</sup>	۲۷,۹۲±۴,۰۵ <sup>a</sup>		حجم ( $\text{cm}^3$ )
۱/۰۱۷±۰,۰۰۸ <sup>a</sup>	۱/۰۱۲±۰,۰۰۷ <sup>b</sup>	۱/۰۰۹±۰,۰۰۸ <sup>c</sup>		چگالی ( $\text{g/cm}^3$ )

میانگین ها دارای حروف مشترک، از نظر آماری معنی دار نمی باشند

## جدول ۲ تجزیه واریانس خواص مکانیکی بر اساس فاکتورهای سرعت، اندازه و جهت بارگذاری

میانگین مربعات (MS)					
فاکتورها	درجه آزادی	(N) نیروی لهیدگی	(J) انرژی لهیدگی	(J/cm <sup>3</sup> ) چگرمه‌گی	(Pa) مدول اسیستیته
سرعت	۲	۴۵۸۷,۶۶۸ <sup>ns</sup>	۱۱۳۶۹**	۰,۰۰۱**	۱۳۱۷۳,۶۹۲۵**
اندازه	۲	۴۹۶۳,۵۰۹ <sup>ns</sup>	۰,۰۵۲ <sup>ns</sup>	۰,۰۰۱**	۱۰۹۷۴,۴۲۲۹**
سرعت × اندازه	۴	۳۲۵۷,۹۸۰ <sup>ns</sup>	۰,۲۷۳**	۰,۰۰۱*	۱۳۵۹۲,۳۶۱ <sup>ns</sup>
جهت	۱	۳۳۹,۰۰۲ <sup>ns</sup>	۰,۰۰۴ <sup>ns</sup>	۰,۰۰۰۰۰۳ <sup>ns</sup>	۶۳۷۳۸,۱۹۸**
× سرعت	۲	۳۳۸۶,۴۰۹ <sup>ns</sup>	۰,۰۸۶ <sup>ns</sup>	۰,۰۰۰۵ <sup>ns</sup>	۳۵۸۷,۵۶۴ <sup>ns</sup>
اندازه × جهت	۲	۳۱۸۰,۸۷۵ <sup>ns</sup>	۰,۱۴۸ <sup>ns</sup>	۰,۰۰۰۱ <sup>ns</sup>	۳۶۹۲۷,۰۴۱ <sup>ns</sup>
سرعت × اندازه × جهت	۴	۲۰۷۱,۶۳۲ <sup>ns</sup>	۰,۰۹۳ <sup>ns</sup>	۰,۰۰۰۰۷ <sup>ns</sup>	۱۰۷۹۹,۸۷۳ <sup>ns</sup>
خطا	۳۶	۱۷۷۵,۲۴۱	۰,۰۷۰	۰,۰۰۰۲	۱۳۹۳۷,۹۴
ضریب تغییرات	-	۱۴,۷۶	۱۷,۸۵	۱۹,۲۷	۱۳,۰۲

در سطح ۵٪ معنادار است، \*\* در سطح ۰,۹۹٪ معنادار است، ns معنادار نیست

## جدول ۳ مقایسه میانگین اثر متقابل اندازه میوه و سرعت بارگذاری بر انرژی لهیدگی (J)

۳۰۰ mm/min	۲۰۰ mm/min	۱۰۰ mm/min	سرعت	
			اندازه میوه	بزرگ
۰,۸۹ <sup>Bc</sup>	۱,۴۴ <sup>Ab</sup>	۱,۹۱۴ <sup>Aa</sup>		
۱,۳۸ <sup>Aa</sup>	۱,۴۴ <sup>Aa</sup>	۱,۶۹۵ <sup>Aa</sup>		متوسط
۱,۳۱ <sup>Aa</sup>	۱,۰۹ <sup>Aa</sup>	۱,۶۳ <sup>Aa</sup>		کوچک

حروف بزرگ : مقایسه میانگین سطوح اندازه حروف کوچک : مقایسه میانگین سطوح سرعت بارگذاری

**جدول ۴ مقایسه میانگین اثر متقابل اندازه میوه و سرعت بارگذاری بر چفرمگی ( $J/cm^3$ )**

۳۰۰mm/min	۲۰۰mm/min	۱۰۰mm/min	سرعت اندازه میوه	
			بزرگ	متوسط
۰,۰۶۱ <sup>Ba</sup>	۰,۰۶۵ <sup>Aa</sup>	۰,۰۶۴ <sup>Aa</sup>	۰,۰۶۴ <sup>Aa</sup>	بزرگ
۰,۰۹ <sup>Aa</sup>	۰,۰۷۲ <sup>Ab</sup>	۰,۰۶۶ <sup>Ab</sup>	۰,۰۶۶ <sup>Ab</sup>	متوسط
۰,۰۹۴ <sup>Aa</sup>	۰,۰۷۶ <sup>Aab</sup>	۰,۰۶۲ <sup>Ab</sup>	۰,۰۶۲ <sup>Ab</sup>	کوچک

حرروف بزرگ : مقایسه میانگین سطوح سرعت بارگذاری

به خاطر افزایش شعاع‌های تماسی بین لیمو و فک می‌باشد و به دلیل نارس بودن و رطوبت کمتر نمونه‌های کوچک نیز رفتار سخت‌تر آنها نسبت به اندازه‌های بزرگ‌تر توجیه می‌شود. در مورد سرعت‌های بارگذاری با افزایش سرعت میزان آن نیز افزایش یافته است (جدول ۵). این روند در شکل ۳ قابل مشاهده است به طوری که با افزایش سرعت بارگذاری میزان شبیه منحنی نیز افزایش یافته است. در کل این رفتار نشان دهنده افزایش سختی لیموترش در سرعت‌های بالاتر است. همچنین این رفتار در مواد دیگر ویسکوالاستیک نیز وجود دارد.<sup>[۱۰]</sup> با افزایش سرعت با توجه به مقاومت مواد نسبت به خروج مایع داخلی، میزان مقاومت افزایش می‌یابد. البته در سرعت‌های ۲۰۰ و ۳۰۰ mm/min مدول الاستیسیته تفاوتی با هم ندارند. با توجه به جدول مقایسه میانگین نشان می‌دهد که لیموترش در جهت بارگذاری افقی رفتاری سخت‌تر نسبت به جهت بارگذاری عمودی از خود نشان می‌دهد. در تحقیق Sing نیز این نتیجه مشاهده شد.<sup>[۸]</sup> میزان مدول الاستیسیته بدست آمده برای لیموترش حدوداً بین ۸۰۰ تا ۱۰۰۰ kPa تغییر می‌کند. مدول الاستیسیته برای پرتقال حدود ۵۸۶ kPa بدست آمد.<sup>[۵]</sup> در تحقیق دیگر این شاخص برای پرتقال حدود ۱۰۰۰ تا ۱۵۰۰ kPa تعیین شد.<sup>[۶]</sup>

### ۴-۴- چفرمگی

اثر سرعت بارگذاری بر چفرمگی در سطوح اندازه لیموترش: با توجه به مقایسه میانگین در دو اندازه متوسط و کوچک با افزایش سرعت بارگذاری میزان چفرمگی افزایش یافته است (جدول ۴). دلیل این امر به خاطر حذف اثر حجم می‌باشد. به عبارت دیگر انرژی در واحد حجم با افزایش سرعت بارگذاری افزایش می‌یابد. دلیل اصلی تفاوت در روند چفرمگی با انرژی لهیدگی به خاطر حجم نمونه می‌باشد.

اثر اندازه لیموترش بر چفرمگی در سطوح سرعت بارگذاری: مانند نتایج مربوط به انرژی لهیدگی، فاکتور چفرمگی نیز در دو سرعت ۱۰۰ و ۲۰۰ mm/min ۳۰۰ mm/min میزان چفرمگی در اندازه بزرگ کاهش می‌یابد (جدول ۴). مقایسه با استفاده از داده‌های چفرمگی میزان آن بین ۰,۰۶<sup>a</sup> تا ۰,۰۸<sup>b</sup> J/cm<sup>3</sup> تغییر کرد. با استفاده از این بازه و داشتن انرژی در واحد حجم می‌توان در فرآوری لیموترش استفاده نموده و انرژی مصرفی را حدوداً پیش‌بینی کرد.

### ۴-۵- مدول الاستیسیته

با توجه به نتایج حاصله از مقایسه میانگین‌ها با افزایش اندازه میوه، مدول الاستیسیته کاهش می‌یابد (جدول ۵). دلیل این امر

**جدول ۵ مقایسه میانگین اثرات اصلی اندازه میوه، سرعت و جهت بارگذاری بر مدول الاستیسیته**

اندازه میوه	مدول الاستیسیته (kPa)	سرعت (mm/min)	مدول الاستیسیته (kPa)	جهت	مدول الاستیسیته (kPa)
بزرگ	۸۳۱,۵ <sup>b</sup>	۱۰۰	۸۱۰,۰ <sup>b</sup>	عمودی	۹۷۱,۳ <sup>a</sup>
متوسط	۹۰۲,۳ <sup>b</sup>	۲۰۰	۹۷۱,۳ <sup>a</sup>	افقی	۹۴۰,۰ <sup>a</sup>
کوچک	۹۸۷,۵ <sup>a</sup>	۳۰۰	۹۴۰,۰ <sup>a</sup>		

میانگین‌ها دارای حرروف مشترک، از نظر آماری معنی دار نمی‌باشند

- [3]Anonymous (2006). Agriculture Database of FAO-STAT. Available on the <http://faostat.fao.org/faostat/form?collection=Production.Crops.Primary&Domain=Production&servlet=1&hasbulk=0&version=ext&language=EN>
- [4]Llanes, O., Martinez, A., leyva, I. and Morales, A. (1997). Determination of physical-mechanical properties of the grapefruit marsh. Center of mechanization agriculture (CEMA)-UNAH LA Habana. Available on the <http://www.siamainfo.ve/revista/1999/numero2/articulo2.html>.
- [5]Fidelibus, M. W., Teixeira, A. A., Davies, F. S. (2002). Mechanical properties of orange peel and fruit treated pre-harvest with Gibberellic Acid. Transaction of the ASAE, 45(4): 1057-1062.
- [6]Miller, W. M. (1986). Physical properties data for post harvest handling of Florida citrus. Application of agriculture engineering, 3(1): 123-128.
- [7]Gyasi, S. R., Friedly, B., and Chen, P. (1981). Elastic and viscoelastic Poisson's ratio determination for selected citrus fruit. Transaction of ASAE, 24(3): 747-750.
- [8]Singh, K. K., Reddy, B. S. (2006). Post-harvest physico-mechanical properties of orange peel and fruit. Journal of Food Engineering, 73: 112-120.
- [9]Topuz, A., Topakci M., Canakci, M., Akinci I. and Ozdemir, F. (2005). Physical and nutritional properties of four orange varieties. Journal of Food Engineering, 66 : 519-523
- [10]Mohsenin, N. N. (1986). Physical Properties of Plant and Animals Materials. New York: Gordon and Beach Science.
- [11]Yazdi samadi, B., Rezaee, A., and Valizade, M. (2005). Statistical Designs in Agriculture Research. Tehran University.
- [12]Valizadeh, M. and Moghadam, M. (2004). Experimental Designs In Agriculture. Parivar, Tabriz.

#### ۴- نتیجه گیری

- تاثیر جرم بر تمام پارامترها به غیر از قطر هندسی معنادار بود. همچنین حجم، قطر هندسی و ضریب کرویت رابطه مستقیم و چگالی رابطه معکوسی با اندازه جرمی داشتند.
- هیچ یک از شاخص‌های اندازه، سرعت بارگذاری و جهت قرارگیری تاثیر معناداری بر نیروی لهیدگی نداشته است. میزان نیروی لهیدگی نیز بین ۲۷۴ تا ۲۹۷ N تغییر می‌کند(با احتمال ۹۵٪).
- سرعت بارگذاری با انرژی لهیدگی رابطه معکوس دارد. این روند تقریبا در تمام اندازه‌ها مشاهده شد. به طور میانگین در سرعت‌های ۱۰۰، ۲۰۰ و ۳۰۰ به ترتیب ۱۹۵، ۱۴۹ و J ۱/۷۴ بدست آمد.
- سرعت بارگذاری با چفرمگی رابطه مستقیمی داشت. البته در اندازه بزرگ مقدار با تغییرات سرعت تغییراتی نداشت. میزان چفرمگی در سرعت‌های ۱۰۰، ۲۰۰ و ۳۰۰ mm/min به ترتیب ۰/۰۷۱، ۰/۰۶۱ و ۰/۰۸۱۶ J/cm<sup>3</sup> بدست آمد.
- شاخص اندازه تاثیر زیادی بر انرژی لهیدگی و چفرمگی نداشته است و تنها در سرعت ۳۰۰ mm/min مقداری متفاوت شد و میزان انرژی و چفرمگی در اندازه بزرگ نسبت به دو حالت دیگر کاهش یافت.
- تمام شاخص‌ها روی مدول الاستیسیته تاثیر داشتند. شاخص اندازه با آن رابطه معکوس داشته و میزان آن به ترتیب از بزرگ به کوچک ۹۰۲/۲ ۸۳۱/۵ kPa ۹۷۸/۴ kPa بودند. همچنین میزان مدول در سرعت ۱۰۰ mm/min نسبت به دو سرعت دیگر کمتر شد. در ضمن میزان آن در حالت افقی (۱۰۱۵/۷ kPa) بیشتر از حالت عمودی (۷۹۸/۴ kPa) شد.

#### ۵- منابع

- [1]Fotoohi Ghazvini, R. (1998). Citrus Growing in Iran. Gilan University.
- [2]Azimi Tabrizi, M. (1990). Citrus, Planting and Nutrition. (by Delfez Fezits, W.). Hahid Chamran University.

## **Evaluation of some physical properties of jahromi lime**

**Movahednejad, M. H. <sup>1</sup>, Khosthagaza, M. H. <sup>2\*</sup>**

1- PhD. Student, Agricultural Machinery Engineering Department, Tarbiat Modares University

2- Associate Professor, Agricultural Machinery Engineering Department, Tarbiat Modares University

(Received:88/7/23 Accepted: 90/5/23)

In this study, some physical properties of Jahromi lime fruits were investigated. Physical properties such as mass, main diameters, volume, density, sphericity and geometric mean diameter were measured. Material testing machine was used to measure mechanical strength by using two plates compression test. The experiments were carried out at three mass levels ( $m > 23$  g,  $18$  g  $< m < 23$  g,  $m < 18$  g), three loading speeds (100, 200 and 300 mm/min) and two loading directions [vertical (in maximum diameter direction) and horizontal (in medium diameter direction)]. Strength properties such as failure force and energy, toughness and elasticity module were determined. Result of physical properties of limes showed that the averages of mass, volume, density, sphericity and geometric mean diameter were  $21.48 \pm 5.98$  g,  $21.24 \pm 6.00$  cm<sup>3</sup>,  $1.012 \pm 0.008$  g/cm<sup>3</sup>,  $0.90 \pm 0.04$  and  $34.07 \pm 3.27$  cm, respectively. Also, results showed that loading direction, loading speed and size factors had significant effect on elasticity module ( $p < 0.01$ ). Interaction effect of loading speed and the size had significant effect on the failure energy ( $p < 0.01$ ) and toughness ( $p < 0.05$ ). But none of them have significant effect on the failure force. Moreover, the result showed that the loading speeds have indirect relation with failure energy and direct relation with toughness and elasticity module. Therefore, size had no effect on failure energy and toughness but size and elasticity module had indirect relation.

**Key words:** Physical properties; Material testing machine; Toughness; Elasticity module

---

\* Corresponding author E-mail address: khoshtag@modares.ac.ir